

# Apprentissage d'EDO et OdeNet

---

Emmanuel Franck<sup>\*</sup>,

19 septembre, 2024

**Master CMSI, M2**, Strasbourg

<sup>\*</sup>MACARON project-team, Université de Strasbourg, CNRS, Inria, IRMA, France

The logo for Inria, featuring the word "Inria" in a red, cursive script font.The logo for IRMA, consisting of the letters "IRMA" in a blue, bold, sans-serif font, with a horizontal line underneath. Below the line, the text "Institut de Recherche Mathématique Avancée" is written in a smaller, blue, sans-serif font.

# Outline

---

Apprentissage d'EDO: approche directe

Apprentissage d'EDO: Sindy

Apprentissage d'EDO: ODEnet

Apprentissage d'EDO: approche directe

Apprentissage d'EDO: Sindy

Apprentissage d'EDO: ODEnet

## Apprentissage d'EDO: approche directe

# Apprentissage d'EDO

- On suppose que l'on a des données temporelles. La  $i$ ème séquence est donnée par:

$$\mathcal{X} = (\mathbf{x}_1^1, \dots, \mathbf{x}_t^1, \dots, \mathbf{x}_T^1), \dots, (\mathbf{x}_1^i, \dots, \mathbf{x}_t^i, \dots, \mathbf{x}_T^i), \dots, (\mathbf{x}_1^M, \dots, \mathbf{x}_t^M, \dots, \mathbf{x}_T^M)$$

- L'approche statistique/probabiliste utilisée par les RNN ne suppose pas une certaine continuité temporelle.
- En physique, en biologie ou autre il est raisonnable de supposer cette **continuité** et donc d'apprendre la dynamique sous la forme d'EDO:

$$\frac{d\mathbf{x}(t)}{dt} = \mathbf{f}_\theta(\mathbf{x}(t))$$

ou  $F_\theta$  est un **modèle paramétrique** à construire. On peut aussi construire une EDS:

$$\dot{\mathbf{x}}(t) = \mathbf{f}_\theta(\mathbf{x}(t))dt + \sigma dB_t$$

- On peut commencer par construire le jeu de données suivant

$$d\mathcal{X} = \left[ \frac{d\mathbf{x}_1^1}{dt}, \dots, \frac{d\mathbf{x}_1^T}{dt}, \dots, \frac{d\mathbf{x}_M^1}{dt}, \dots, \frac{d\mathbf{x}_M^T}{dt} \right] \in \mathbb{R}^d, \quad \text{avec} \quad \frac{d\mathbf{x}_i^j}{dt} = \frac{\mathbf{x}_i^{j+1} - \hat{\mathbf{x}}_i^{j-1}}{t_{j+1} - t_{j-1}}.$$

## Apprentissage d'EDO

Pour apprendre une EDO il suffit de minimiser:

$$\min_{\theta} \sum_{i=1}^M \sum_{j=1}^{T-1} \left\| \frac{d\mathbf{x}_i^j}{dt} - F_{\theta}(\mathbf{x}_i^j) \right\|_2^2$$

sur l'ensemble des trajectoires. Il s'agit d'apprentissage supervisé.

- Si le modèle paramétrique est  $C^1$  on a un **modèle localement Lipschitzien**. Existence globale ? stabilité en temps long ?

## A priori et stabilité

L'idée va être de se restreindre à certaines formes de fonction  $F_{\theta}$  qui permettent d'obtenir de la stabilité. On fait un **a priori** sur la forme de modèle à déterminer.

- La théorie de Lyapunov est un outils important. En effet l'existence d'une fonction de Lyapunov assure un certains nombre propriétés de stabilité et l'existence globale de solutions.

## Fonction de Lyapunov

On considère le système associé a un flux  $f$ . On appelle **une fonction de Lyapunov** une fonction  $V$  qui satisfait

$$\lim_{\|\mathbf{x}\| \rightarrow \infty} V(\mathbf{x}) \rightarrow \infty, \quad \text{et} \quad \frac{dV(\mathbf{x}(t))}{dt} \leq 0, \quad \forall \mathbf{x}(t)$$

avec  $\mathbf{x}(t)$  une trajectoire de l'EDO.

## Théorème de limitation de Lyapunov

Si on a une fonction de Lyapunov pour un système d'EDO alors toutes les **les trajectoires de ce système sont bornées** pour  $\forall t \geq 0$ . On a donc **existence globale des solutions**.

## Théorème de stabilité exponentielle de Lyapunov

Si on a une fonction définie positive ( $V(\mathbf{x}) \geq 0$  et  $V(0) = 0$ ) satisfaisant  $\frac{dV(\mathbf{x}(t))}{dt} \leq -\alpha V(\mathbf{x}(t))$ , il s'agit d'une fonction de Lyapunov qui assure que

$$\|\mathbf{x}(t)\| \leq Me^{-\frac{1}{2}\alpha t} \|\mathbf{x}(0)\|$$

- **Idée:** apprendre un flux qui satisfait la stabilité exponentielle de Lyapunov.
- Pour la stabilité exponentielle il nous faut  $(\nabla_x V)^t f(\mathbf{x}(t)) \leq -\alpha V(\mathbf{x}(t))$ .
- Si on donne une fonction  $V$  et une fonction  $\hat{f}$  qui ne satisfait pas cette condition on peut toujours la projeter sur l'espace  $\{f, (\nabla_x V)^t f(\mathbf{x}(t)) \leq -\alpha V(\mathbf{x}(t))\}$ .
- Le projecteur est donné par:

$$f(\mathbf{x}) = P(\hat{f}) = \hat{f}(\mathbf{x}) - (\nabla_x V) \frac{\text{Relu}((\nabla_x V)^t \hat{f}(\mathbf{x}(t)) + \alpha V(\mathbf{x}(t)))}{\|(\nabla_x V)\|^2}$$

- **Apprentissage:** on projette à chaque étape de gradient le flux appris  $\hat{f}_\theta$  sur  $f_\theta$ .

# Apprentissage d'EDO et stabilité IV

- Maintenant reste à savoir comment paramétrer la fonction de Lyapunov.
- **Difficulté:**  $V$  doit être positive, coercive et **zéro est l'unique optimum**.
- Optimum local loin de l'origine ==> la dynamique peut rester bloquée à cet endroit et ne pas décroître vers zéro
- On choisit donc la paramétrisation suivante:

$$V_{\theta}(\mathbf{x}) = \sigma(g_{\theta}(\mathbf{x}) - g_{\theta}(\mathbf{0})) + \epsilon \|\mathbf{x}\|^2$$

avec  $\sigma_p$  une fonction d'activation positive, convexe, croissante et  $g_{\theta}$  un réseau de neurones convexe par rapport à  $\mathbf{x}$ .

## Réseau convexe

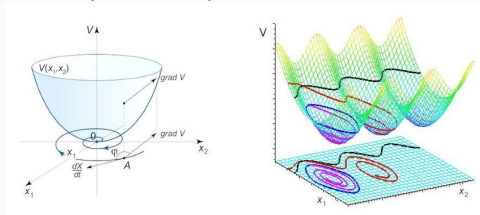
un réseau de première couche:  $\mathbf{z}_1 = \sigma_0(W_0\mathbf{x} + b_0)$  et où les couches suivantes sont définies par:

$$\mathbf{z}_{k+1} = \sigma_k(U_k\mathbf{z}_k + W_k\mathbf{x} + \mathbf{b}_k)$$

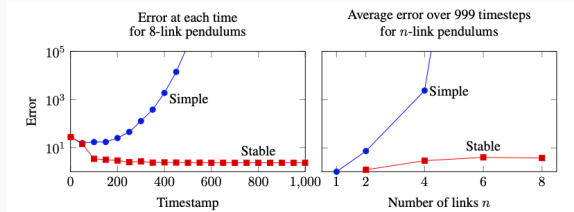
avec  $U_k, W_k$  des matrices de poids et  $\mathbf{b}_k$  des vecteurs de biais. En prenant les poids  $U_k$  sont positifs et les fonctions d'activations  $\sigma_k$  convexe, monotone, croissante est une transformation **convexe**.

# Apprentissage d'EDO et stabilité V

- Fonction de Lyapunov avec un/plusieurs points d'attractions.



- Exemple d'apprentissage de pendule dissipative avec/sans la méthode stable ("Learning Stable Deep Dynamics Model").



# Apprentissage d'EDO Hamiltonienne

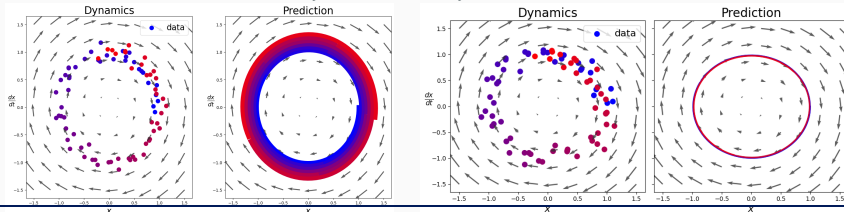
- Autre possibilité pour assurer la stabilité: imposer **une structure conservative** au modèle recherché. En général cela permet d'assurer des trajectoires bornées.
- On peut voir ça comme un **a priori physique** sur les modèles recherchés.

## HNN

Soit un réseau  $H_\theta(x)$  de  $\mathbb{R}^{2n}$  dans  $\mathbb{R}$  Pour obtenir une ODE Hamiltonienne on minimise:

$$\min_{\theta} \sum_{i=1}^M \sum_{j=1}^{T-1} \left\| \frac{dx_i^j}{dt} - \mathcal{J}^{-1} \nabla_x H_\theta(\mathbf{x}_i^j) \right\|_2^2$$

On apprend un oscillateur sans imposer/en imposant la structure Hamiltonienne



# Apprentissage d'EDO Lagrangienne

- Pour imposer une structure conservative on peut imposer une structure Lagrangienne.

## Fonction de cout pour l'apprentissage d'une EDO dérivant d'un Lagrangien

Soit un réseau  $\mathcal{L}_\theta(x)$  de  $\mathbb{R}^{2n}$  dans  $\mathbb{R}$ . Soit  $(\mathbf{q}_i^j, \dots)$  des données de différente trajectoires. Soit  $\frac{d\hat{\mathbf{q}}_i^j}{dt}$  et  $\frac{d^2\hat{\mathbf{q}}_i^j}{dt^2}$  les reconstruction des dérivées première et seconde. Pour apprendre une **ODE dérivant d'un Lagrangien** on minimise:

$$\min_{\theta} \sum_{i=1}^n \sum_{j=1}^{T-1} \left\| \frac{d^2\hat{\mathbf{q}}_i^j}{dt^2} - \left( \frac{\partial \mathcal{L}(\mathbf{q}, \dot{\mathbf{q}}, t)}{\partial^2 \dot{\mathbf{q}}} \right)^{-1} \left( - \left( \frac{\partial \mathcal{L}(\mathbf{q}, \dot{\mathbf{q}}, t)}{\partial \mathbf{q} \partial \dot{\mathbf{q}}} \right) \frac{d\hat{\mathbf{q}}_i^j}{dt} + \frac{\partial \mathcal{L}(\mathbf{q}, \dot{\mathbf{q}}, t)}{\partial \mathbf{q}} \right) \right\|_2^2$$

- Cette approche admet quelques difficultés. Il faut reconstruire la dérivée seconde des données et donc avoir des données assez propres. Cette approche nécessite de calculer la dérivée seconde du réseau et  $\nabla_{\theta} \left( \left( \frac{\partial \mathcal{L}(\mathbf{q}, \dot{\mathbf{q}}, t)}{\partial^2 \dot{\mathbf{q}}} \right)^{-1} \right)$ .

# Apprentissage d'EDO Hamiltonienne non canonique

- Maintenant on s'intéresse au cas non-canonique:

$$\dot{\mathbf{x}} = \mathcal{K}(\mathbf{x})^{-1} \nabla_{\mathbf{x}} \mathcal{H}(\mathbf{x}), \quad + \text{identité de Jacobi.}$$

- Comme précédemment on souhaite apprendre ce type de système à partir de données.
- Pour imposer cette structure on peut apprendre en minimisant:

$$\min_{\theta} \sum_{i=1}^M \sum_{j=1}^{T-1} \left\| \frac{d\mathbf{x}_i^j}{dt} - \mathcal{K}_{\theta}(\mathbf{x})^{-1} \nabla_{\mathbf{x}} \mathcal{H}_{\theta}(\mathbf{x}_i^j) \right\|_2^2$$

- Le modèle appris est **conservatif**.
- Cependant pour obtenir un modèle non-canonique il faut aussi satisfaire **l'identité de Jacobi**.
- Pour obtenir cela on peut imposer:

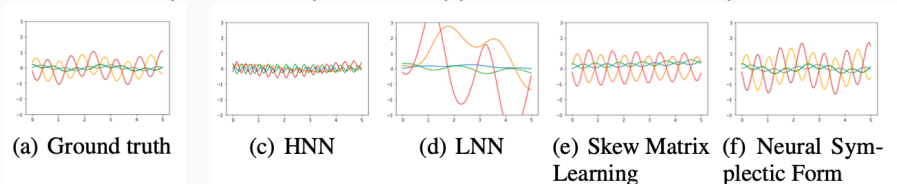
$$\mathcal{K}_{i,j,\theta}(\mathbf{x}) = \frac{\partial V_{i,\theta}(\mathbf{x})}{\partial x_j} - \frac{\partial V_{j,\theta}(\mathbf{x})}{\partial x_i}$$

# Apprentissage d'EDO Hamiltonienne non canonique II

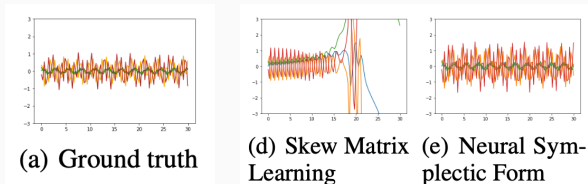
- On va minimiser

$$\min_{\theta} \sum_{i=1}^M \sum_{j=1}^{T-1} \left\| \frac{d\mathbf{x}_i^j}{dt} - \mathcal{K}(\mathbf{x})^{-1} \nabla_{\mathbf{x}} \mathcal{H}_{\theta}(\mathbf{x}_i^j) \right\|_2^2 \quad \text{avec } \mathcal{K}_{i,j}(\mathbf{x}) = \frac{\partial V_{i,\theta}(\mathbf{x})}{\partial \mathbf{x}_j} - \frac{\partial V_{j,\theta}(\mathbf{x})}{\partial \mathbf{x}_i}$$

- Comparaison en temps court de plusieurs approches sur le double pendule



- En temps long



Apprentissage d'EDO: approche directe

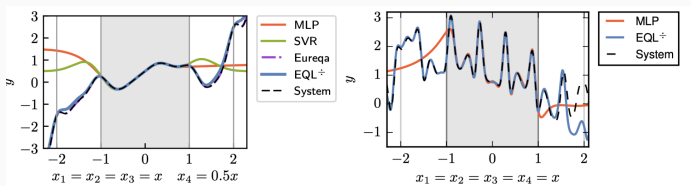
**Apprentissage d'EDO: Sindy**

Apprentissage d'EDO: ODEnet

## Apprentissage d'EDO: Sindy

# Apprentissage d'EDO et méthode Sindy

- L'apprentissage d'EDO à partir de ANN est très général mais ne donne pas des équations explicables. De plus **l'extrapolation en temps est souvent mauvaise**.
- **Méthode symbolique**: on cherche **une expression analytique**.
- Symbolique vs nn:



- Exemple de Modèle:

$$\left\{ \begin{array}{l} \frac{dS(t)}{dt} = -\frac{\beta S(t)I(t)}{N} \\ \frac{dI(t)}{dt} = \frac{\beta S(t)I(t)}{N} - \gamma I(t) \\ \frac{dR(t)}{dt} = \gamma I(t) \end{array} \right. , \quad \left\{ \begin{array}{l} \frac{dx(t)}{dt} = \sigma(y(t) - x(t)) \\ \frac{dy(t)}{dt} = x(t)(\rho - z(t)) - y(t) \\ \frac{dz(t)}{dt} = x(t)y(t) - \beta z(t) \end{array} \right.$$

- Les flux physique **f** recherchés sont souvent des fonctions simples.

- Sindy est l'approche la plus simple de modèle symbolique.

## Modèle Sindy

On définit le modèle dans le cas scalaire  $x(t) \in \mathbb{R}$ . On se donne un certain nombre de fonctions  $(f_1(x), \dots, f_m(x))$ . Le modèle SINDy est donné par

$$f_{\xi}(x) = \sum_{i=1}^m \xi_i f_i(x)$$

avec comme paramètres  $\xi = (\xi_1, \dots, \xi_m)$ .

- **Dilemme:** on veut utiliser peu de fonctions  $f_i$  pour coller à la physique mais beaucoup de fonctions pour avoir un modèle assez riche physiquement.
- **Idée:** prendre un grand dictionnaire de fonctions **avec une contrainte de parcimonie**.

# Apprentissage d'EDO et méthode Sindy III

- On commence par introduire la matrice des données:

$$\mathbf{X} = \begin{bmatrix} \mathbf{x}^T(t_1) \\ \mathbf{x}^T(t_2) \\ \vdots \\ \mathbf{x}^T(t_m) \end{bmatrix} = \begin{bmatrix} x_1(t_1) & x_2(t_1) & \cdots & x_d(t_1) \\ x_1(t_2) & x_2(t_2) & \cdots & x_d(t_2) \\ \vdots & \vdots & \ddots & \vdots \\ x_1(t_m) & x_2(t_m) & \cdots & x_d(t_m) \end{bmatrix} \in \mathcal{M}_{n,d}(\mathbb{R}), \quad \dot{\mathbf{X}} = \begin{bmatrix} \dot{\mathbf{x}}^T(t_1) \\ \dot{\mathbf{x}}^T(t_2) \\ \vdots \\ \dot{\mathbf{x}}^T(t_m) \end{bmatrix}$$

- Ensuite on va construire la matrice des nonlinéarités:

$$\Theta(\mathbf{X}) = \begin{bmatrix} 1 & \mathbf{X} & \mathbf{f}_1(\mathbf{X}) & \mathbf{f}_2(\mathbf{X}) & \cdots & \mathbf{f}_m(\mathbf{X}) \end{bmatrix} \in \mathcal{M}_{n,m}(\mathbb{R})$$

Lorsqu'on note  $\mathbf{f}_1(\mathbf{X})$  il s'agit du vecteur contenant la nonlinéarité  $(t_1, \dots, t_n)$ .

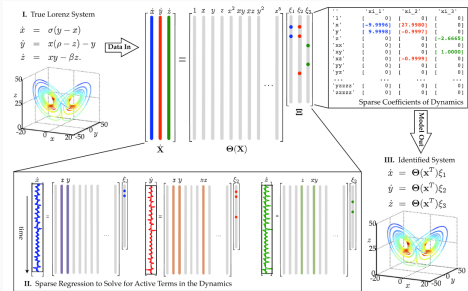
- Les nonlinéarités seront du type  $x_1^2, x_1x_2\dots x_d, \sin(x_4)$  etc.

## Sindy

$$\xi^* = \underset{\xi}{\operatorname{argmin}} \frac{1}{2} \left\| \dot{\mathbf{X}} - \Theta(\mathbf{X}^T) \xi \right\|_2^2 + \lambda \|\xi\|_1,$$

avec  $\xi \in \mathcal{M}_{m,d}(\mathbb{R})$ .

# Algorithmes de résolution



- Algorithm de résolution: STLSQ

- On résout une succession de problème Ridge  $\xi^* = \operatorname{argmin}_{\xi} \frac{1}{2} \|\dot{\mathbf{x}} - \Theta(\mathbf{X}^T) \xi\|_2^2 + \lambda \|\xi\|_2^2$
- On enlève les poids de  $\xi$ , qui ont une norme inférieure à  $\epsilon$ .

- Algorithme de résolution : SR3

- On résout  $\operatorname{argmin}_{\xi_{k+1}} \frac{1}{2} \|\dot{\mathbf{x}} - \Theta(\mathbf{x}^T) \xi_k\|_2^2 + \frac{1}{2\nu} \|\mathbf{C} \xi_k - \mathbf{w}_k\|_2^2$
- On applique la parcimonie au poids  $\mathbf{w}$ :  $\mathbf{w}_{k+1} = P_{\lambda, \mu}(\xi_{k+1})$

- Sindy pour les EDO Hamiltoniennes et Lagrangiennes: on paramètre  $\mathcal{H}$  ou  $\mathcal{L}$ .
- Librairie python: <https://pypi.org/project/pysindy/>.

## Weak Sindy

- L'approche Sindy classique utilise:

$$\dot{\mathbf{x}} - \Theta(\mathbf{x}^T)\xi = 0$$

- La **formulation faible** consiste donc à multiplier par une fonction test en temps à support compact sur  $[0, T]$  nommée  $\phi(t)$  et intégrer on obtient un résidu:

$$\mathcal{R}(\mathbf{x}) = \int_0^T (\dot{\mathbf{x}} - \Theta(\mathbf{x}^T)\xi)\phi(t)dt$$

- En intégrant par partie on retrouve

$$\mathcal{R}(\mathbf{x}) = \int_0^T \mathbf{x}(t)\dot{\phi}(t)dt + \int_0^T (\Theta(\mathbf{x}^T)\xi)\phi(t)dt$$

- On discrétise l'intégrale pour obtenir le résidu qu'on minimisera:

$$\mathcal{R}_n(\mathbf{x}) = \sum_{j=1}^n \left( \mathbf{x}(t_j)\dot{\phi}(t_j) + \sum_{i=1}^M \xi_i f_i(\mathbf{x}(t_j))\phi(t_j) \right)$$

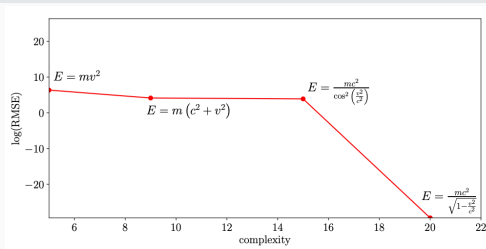
- On écrit sous la forme d' un problème au moindre carré et on résout cela avec STLSQ.

# Au delà de Sindy: la régression symbolique

- Sindy est un modèle permettant d'obtenir des EDO analytique.
- Elle nécessite de correctement choisir ses **fonctions de bases**.
- Pour aller au delà: **Régression Symbolique**

## Régression Symbolique

Soit des données  $(\mathbf{x}_1, \dots, \mathbf{x}_n)$  et  $(\mathbf{y}_1, \dots, \mathbf{y}_n)$  tel que  $\mathbf{y} = f(\mathbf{x}) + \epsilon$ . Un algorithme de régression symbolique est un processus qui permet d'obtenir une formule analytique à partir des données.

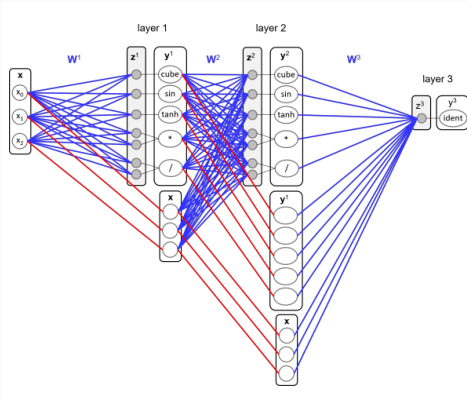


- Logiciel Phi-SO. W. Tenachi. Strasbourg



# Régression symbolique II

- On met comme fonctions d'activation: les fonctions classiques.
- Cela génère une formule. Pour qu'elle soit compacte on impose la **parcimonie**.



- Beaucoup de variantes dans le modèle, l'apprentissage, etc
- La contrainte de parcimonie est faible au début puis augmente. Pruning etc.

Apprentissage d'EDO: approche directe

Apprentissage d'EDO: Sindy

Apprentissage d'EDO: ODEnet

## Apprentissage d'ODE: ODEnet

## Resnet et lien avec les EDO

- Ici on va d'abord proposer une architecture générale de réseau avant d'appliquer ses idées aux EDO.
- On se souvient de l'approche "ResNet" qui consiste à écrit une couche comme:

$$z^{l+1} = z^l + \text{block}_\theta(z^l)$$

- L'ajout de l'identité permettait notamment d'éviter des explosions/disparitions de gradient.
- **Forme est très proche de la discrétisation d'une EDO ou le réseau correspondrait au flux.**
- Avec cette analogie, on voit que mettre plus et plus de couches reviendraient à discrétiser plus finement l'EDO.

### Idée

Proposer une architecture avec un nombre arbitraire de couches à l'aide d'EDO.

## OdeNet

On se donne une donnée d'entrée  $\mathbf{x} \in \mathbb{R}^d$  et une donnée de sortie  $\mathbf{y} \in \mathbb{R}^d$ . On appelle un **Neural ODE ou OdeNet** un processus de transformation de la forme:

$$\mathbf{z}(0) = h_{\theta_i}(\mathbf{x}), \quad \mathbf{y} = h_{\theta_e}(\mathbf{z}(T))$$

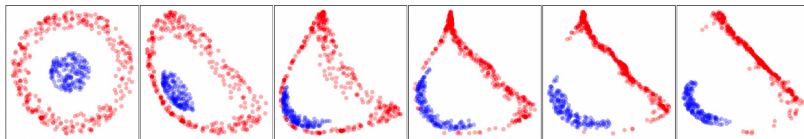
avec  $h_{\theta_i} : \mathbb{R}^d \rightarrow \mathbb{R}^m$ ,  $h_{\theta_e} : \mathbb{R}^m \rightarrow \mathbb{R}^{d_{out}}$ , et  $\mathbf{z}(t)$  qui satisfait

$$\frac{d\mathbf{z}(t)}{dt} = \mathbf{f}_{\theta}(t, \mathbf{z}(t))$$

une équation différentielle dont le flux  $\mathbf{f}_{\theta} : \mathbb{R}^m \rightarrow \mathbb{R}^m$  dépend de paramètres  $\theta$ .

- $f_{\theta}$  un bloc de réseaux de neurones (MLP ou CNN).
- On parle de **Neural ODE** si  $m = d$  et  $h_{\theta_i}$ . Pas d'augmentation de dimension.
- On parle de **Neural ODE augmentée** si  $m > d + d_{out}$ ,  $h_{\theta_i}$  et  $h_{\theta_e}$  des réseaux de neurones. Le second peut contenir le classifieur final.

- Pour la classification ce type de réseaux revient à apprendre une transformation géométrique régulière qui sera appliquée par la discrétisation de l'EDO et il suffit d'ajouter à la fin un classifieur de type MPC ( $h_{\theta_e}$ ).
- Exemple avec un OdeNet classique;



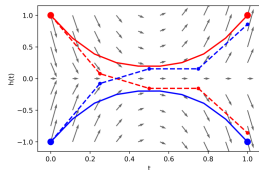
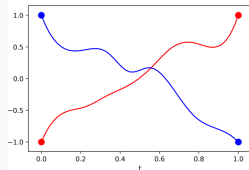
- **Question:** Quel est l'intérêt des EDO augmentée ?
  - ▶ On va montrer que les OdeNet sont moins expressive que les OdeNet augmentée
  - ▶ En discrétisant on évite ce problème mais cela se traduit par d'importantes difficultés numériques.

## ODEnet III

- On va se placer dans le cadre 1D. On cherche à approcher la fonction  $g(x) = -x$ .
- Elle transforme  $x = -1$  en  $y = 1$  et vice-versa.
- Si on décide d'approcher cette transformation par une EDO on doit donc construire une EDO tel qu'il existe deux trajectoires  $z_1(t)$  et  $z_2(t)$  tel que

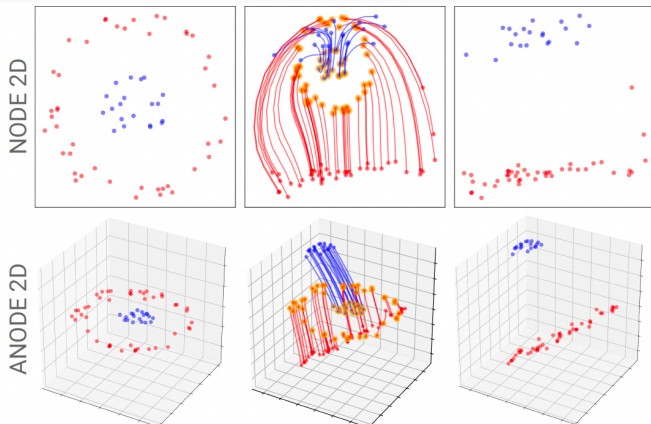
$$z_1(t=0) = -1, \quad z_1(t=1) = 1, \quad \text{et} \quad z_2(t=0) = 1, \quad z_2(t=1) = -1$$

- Construire une EDO générant ce type de trajectoire est impossible. En effet l'unicité des solutions de Cauchy-Lipschitz nous dit que **les trajectoires d'une EDO ne peuvent pas se croiser.**
- Pas vrai au niveau discret mais cela se paye par des difficultés d'apprentissage et des coûts importants.



## Remarque

En augmentant la dimension on peut se ramener un problème où il y a aura pas besoin de changement topologique dans la transformation.



# OdeNet calcul du gradient I

- La fonction de coût qu'on cherche à minimiser est donnée par

$$L(\theta) = \sum_{i=1}^{N_{data}} \| h_{\theta_e}((\mathbf{z}(T))_i) - \mathbf{y}_i \|_2^2$$

avec  $\theta = (\theta_1, \dots, \theta_n)$  et  $(\mathbf{z}(0))_i = h_{\theta_i}(\mathbf{x}_i)$ .

- En pratique il faut maintenant calculer le gradient de notre fonction de coût par rapport à nos entrées  $(\mathbf{z}(t), \theta, t)$ .

## Gradient

Soit  $\mathbf{z}(t)$  solution. On se donne le gradient  $\frac{\partial L}{\partial \mathbf{z}(T)}$  alors les gradients sont donnés par:

$$\frac{dL}{d\theta} = - \int_T^0 \mathbf{a}(t) \frac{\partial \mathbf{f}(\mathbf{z}(t), t, \theta)}{\partial \theta} dt, \quad \frac{dL}{d\mathbf{z}(t)} = -\mathbf{a}(t) \frac{\partial \mathbf{f}(\mathbf{z}(t), t, \theta)}{\partial \mathbf{z}} dt$$

avec  $\mathbf{a}(t)$  solution de:

$$\begin{cases} \frac{d\mathbf{a}(t)}{dt} = -\mathbf{a}(t) \frac{\partial \mathbf{f}(\mathbf{z}(t), t, \theta)}{\partial \mathbf{z}} \\ \mathbf{a}(t=0) = \frac{\partial L}{\partial \mathbf{z}(T)} \end{cases}$$

# OdeNet calcul du gradient II

- Preuve:

- ▶ On commence par construire le gradient par rapport à l'état.
- ▶ On définit

$$\mathbf{a}(t) = \frac{dL}{dz(t)}$$

- ▶ On va montrer formellement que ce nouvel état (appelé **état adjoint**) satisfait

$$\frac{d\mathbf{a}(t)}{dt} = -\mathbf{a}(t)^\top \frac{\partial \mathbf{f}(\mathbf{z}(t), t, \theta)}{\partial \mathbf{z}}$$

- ▶ Pour ca, on l'équivalent continu de la formule de récurrence qu'on a avec les réseaux a nombre fini de couches.
- ▶ On commence par remarquer que:

$$\mathbf{a}(t) = \frac{dL}{\partial \mathbf{z}(t)} = \frac{dL}{dz(t+\epsilon)} \frac{dz(t+\epsilon)}{dz(t)}$$

et par définition de  $\mathbf{a}(t)$

$$\mathbf{a}(t) = \mathbf{a}(t+\epsilon) \frac{dz(t+\epsilon)}{dz(t)}$$

- ▶ A partir de la on peut attaquer le calcul de la dérivée de  $\mathbf{a}(t)$

- Preuve:

$$\begin{aligned}\frac{da(t)}{dt} &= \lim_{\varepsilon \rightarrow 0^+} \frac{\mathbf{a}(t + \varepsilon) - \mathbf{a}(t)}{\varepsilon} \\ &= \lim_{\varepsilon \rightarrow 0^+} \frac{\mathbf{a}(t + \varepsilon) - \mathbf{a}(t + \varepsilon) \frac{\partial}{\partial \mathbf{z}(t)} \mathbf{z}(t + \varepsilon)}{\varepsilon} \\ &= \lim_{\varepsilon \rightarrow 0^+} \frac{\mathbf{a}(t + \varepsilon) - \mathbf{a}(t + \varepsilon) \frac{\partial}{\partial \mathbf{z}(t)} (\mathbf{z}(t) + \varepsilon \mathbf{f}(\mathbf{z}(t), t, \theta) + \mathcal{O}(\varepsilon^2))}{\varepsilon} \\ &= \lim_{\varepsilon \rightarrow 0^+} \frac{\mathbf{a}(t + \varepsilon) - \mathbf{a}(t + \varepsilon) \left( I + \varepsilon \frac{\partial \mathbf{f}(\mathbf{z}(t), t, \theta)}{\partial \mathbf{z}(t)} + \mathcal{O}(\varepsilon^2) \right)}{\varepsilon} \\ &= \lim_{\varepsilon \rightarrow 0^+} \frac{-\varepsilon \mathbf{a}(t + \varepsilon) \frac{\partial \mathbf{f}(\mathbf{z}(t), t, \theta)}{\partial \mathbf{z}(t)} + \mathcal{O}(\varepsilon^2)}{\varepsilon} \\ &= \lim_{\varepsilon \rightarrow 0^+} -\mathbf{a}(t + \varepsilon) \frac{\partial \mathbf{f}(\mathbf{z}(t), t, \theta)}{\partial \mathbf{z}(t)} + \mathcal{O}(\varepsilon) \\ &= -\mathbf{a}(t) \frac{\partial \mathbf{f}(\mathbf{z}(t), t, \theta)}{\partial \mathbf{z}(t)}\end{aligned}$$

- Preuve:

- ▶ On va maintenant en déduire le gradient complet. Pour cela on va réécrire une OdeNet de la façon suivante:

$$\frac{d}{dt} \begin{pmatrix} \mathbf{z}(t) \\ \theta(t) \end{pmatrix} = \begin{pmatrix} \mathbf{f}(\mathbf{z}(t), \theta) \\ 0 \end{pmatrix}$$

- ▶ De la même façon on peut introduire

$$\mathbf{a}_{total}(t) = \begin{pmatrix} \mathbf{a}(t) \\ \mathbf{a}_\theta(t) \end{pmatrix}$$

avec  $\mathbf{a}_\theta = \frac{dL}{d\theta(t)}$  Lorsqu'on applique la formule du gradient a l'équation agrandie on obtient:

$$\frac{d\mathbf{a}_{total}(t)}{dt} = - \begin{pmatrix} \mathbf{a}(t) \frac{\partial \mathbf{f}(\mathbf{z}(t), \theta, t)}{\partial \mathbf{z}(t)} \\ \mathbf{a}(t) \frac{\partial \mathbf{f}(\mathbf{z}(t), \theta, t)}{\partial \theta(t)} \end{pmatrix}$$

On intègre en temps pour obtenir le gradient par rapport aux paramètres  $\theta$ . Pour obtenir le résultat en partant du principe que  $\theta(T) = 0$  (cela revient a dire qu'initialement les poids sont nuls).

## Dual agrandi

On définit le dual agrandi d'un OdeNet:

$$\frac{d}{dt} \begin{pmatrix} \mathbf{z}(t) \\ \mathbf{a}(t) \\ \theta(t) \end{pmatrix} = F_a \begin{pmatrix} \mathbf{z}(t) \\ \mathbf{a}(t) \\ \theta(t) \end{pmatrix} = \begin{pmatrix} \mathbf{f}(\mathbf{z}(t), \theta, t) \\ -\mathbf{a}(t) \frac{\partial \mathbf{f}(\mathbf{z}(t), \theta, t)}{\partial \mathbf{z}(t)} \\ -\mathbf{a}(t) \frac{\partial \mathbf{f}(\mathbf{z}(t), \theta, t)}{\partial \theta} \end{pmatrix}$$

## Algorithme de calcul de gradient

- Soit  $\theta$  les paramètre courant du réseau.
- On définit l'état initial  $s_0 = \left( \mathbf{z}(t_1), \frac{\partial L}{\partial \mathbf{z}(t_1)}, \mathbf{0}_{|\theta|} \right)$ .
- On résout l'EDO duale afin de calculer le gradient

$$\left( \mathbf{z}(t_0), \frac{\partial L}{\partial \mathbf{z}(t_0)}, \frac{\partial L}{\partial \theta} \right) = \text{OdeSolve}(s_0, F_a, t_0, t_1, \theta)$$

- On renvoie les gradients  $\frac{\partial L}{\partial \mathbf{z}(t_0)}$  et  $\frac{\partial L}{\partial \theta}$ .

- Si on ne résout pas le duale augmenté mais le dual il faut **stocker la trajectoire  $\mathbf{z}(t)$** .
- Cout mémoire en  $O(mT)$  avec  $T$  le nombre de pas de temps de couche.

### Mémoire OdeNet

La méthode OdeNet utilise la réversibilité de l'EDO (issue de Cauchy-Lipschitz) pour recalculer  $\mathbf{z}(t)$  rapidement et éviter le stockage. On a donc un cout mémoire en  $O(m)$

- La réversibilité n'est pas immédiate. Il faut EDO suffisamment régulière. Il peut avoir des conditions sur l'ensemble des conditions initiales etc.
- Ce point sera re-discuter plus tard.

# Apprentissage d'EDO avec des OdeNet

- On va maintenant revenir à notre problème initial d'apprentissage d'EDO.
- On se donne un ensemble de trajectoires en temps

$$\mathcal{X} = [\mathbf{x}_1^1, \dots, \mathbf{x}_1^T, \dots, \mathbf{x}_M^1, \dots, \mathbf{x}_M^T] \in \mathbb{R}^d.$$

- Les approches précédentes d'apprentissage ont des défauts:
  - ▶ Si l'écart en temps entre deux échantillons est trop grand l'estimation de la dérivée nécessaire à l'apprentissage sera mauvaise.
  - ▶ on peut apprendre un flux proche du flux recherché mais qui génèrera des solutions instables en temps long.

## Apprentissage d'EDO par contrôle optimal

L'apprentissage d'EDO par contrôle optimal apprend  $\mathbf{f}_\theta$  en résolvant

$$\min_{\theta} \left( \sum_{i=1}^M \sum_{j=1}^{T-1} \|\mathbf{x}_{\theta,i}(t_j) - \mathbf{x}_i^j\|_2^2 \right)$$

avec  $\mathbf{x}_{\theta,i}(t)$  solution de

$$\begin{cases} \frac{d\mathbf{x}_{i,\theta}(t)}{dt} = \mathbf{f}_\theta(\mathbf{x}_{i,\theta}(t)) \\ \mathbf{x}_{i,\theta}(t_0) = \mathbf{x}_i^0 \end{cases}$$

# Apprentissage d'EDO avec des OdeNet II

- On calcule le gradient continue de la même façon que pour un OdeNet classique.
- Ici la fonction a minimiser qui fait **apparaitre plusieurs pas de temps**.
- Pour obtenir le gradient on remarque que:

$$\frac{\partial L}{\partial \theta} = \sum_{i=1}^T \frac{\partial L}{\partial \mathbf{z}(t_i)} \frac{\partial \mathbf{z}(t_i)}{\partial \theta}$$

Ensuite on applique l'algorithme de calcul de gradient sur chaque intervalle  $[t_i, t_{i+1}]$ .

## Algorithme de calcul de gradient

- Soit  $\theta$  les paramètre courant du réseau.
- $\forall i \in \{T, \dots, 1, 0\}$  et pour chaque trajectoire:
  - ▶ On définit l'état initial  $s_i = \left( \mathbf{z}(t_i), \frac{\partial L}{\partial \mathbf{z}(t_i)}, \theta \right)$ .
  - ▶ On résout l'EDO duale:  $\mathbf{a}_i(t) = \text{OdeSolve}(s_i, F_{a_i}, t_i, t_{i-1}, \theta)$  avec  $F_{a_i}$  le flux duale.
- On retourne le gradient  $\frac{\partial L}{\partial \theta} = - \sum_{i=1}^T \int_{t_i}^{t_{i-1}} \mathbf{a}_i(t)^\top \frac{\partial \mathbf{f}(\mathbf{z}(t), t, \theta)}{\partial \mathbf{z}} dt$ .

- Si on applique les OdeNet au problème d'apprentissage d'EDO c'est principalement la méthode d'entraînement qui varie par rapport aux deux approches précédentes.

### Résumé

On va pas calculer  $\mathbf{f}_\theta$  de façon supervisé en estimant une valeur de sortie à l'aide des dérivées discrètes. On va résoudre un problème de contrôle optimal en demandant aux trajectoires issues de  $\mathbf{f}_\theta$  **d'être le plus proche possible des trajectoires de références.**

- En pratique on peut incorporer une structure Hamiltonienne canonique ou non voir Lagrangienne sans que le principe change.

## Odenet du second ordre

- Au même titre qu'il y a des EDO du 1er et du second ordre, on peut le faire au niveau OdeNet.
- Au lieu de OdeNet  $\frac{dz(t)}{dt} = \mathbf{f}_\theta(t, \mathbf{z}(t))$  on la remplace par

$$\frac{d}{dt}\mathbf{w}(t) = \frac{d}{dt} \begin{pmatrix} \mathbf{z}(t) \\ \mathbf{y}(t) \end{pmatrix} = \begin{pmatrix} \mathbf{y}(t) \\ \mathbf{f}_\theta(t, \mathbf{z}(t), \mathbf{y}(t)) \end{pmatrix}$$

et

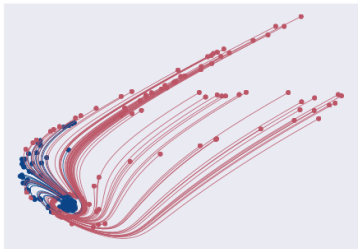
$$\mathbf{w}(t=0) = \begin{pmatrix} \mathbf{z}(t=0) \\ g_{\theta_0}(\mathbf{z}(t=0)) \end{pmatrix}$$

- Il s'agit d'un cas particulier de OdeNet augmentée ou on impose une structure particulière qui rappelle celle des systèmes physiques.

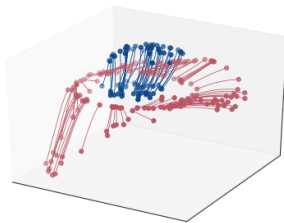
## Odenet du second ordre II

- La formulation d'ordre 2 permet d'avoir des croisements de trajectoires.
- les trajectoires sur  $\mathbf{w}(t)$  peuvent pas se croiser mais celle sur  $\mathbf{z}(t)$

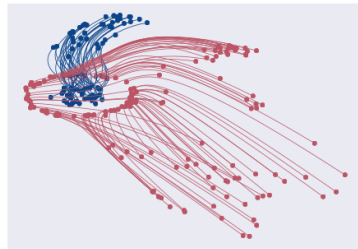
NODE



ANODE(1)



SONODE



## Odenet du second ordre III

- On ne détaillera pas les calculs mais l'état adjoint est donné par

$$\ddot{\mathbf{r}} = \mathbf{r}^T \frac{\partial \mathbf{f}}{\partial \mathbf{x}} - \dot{\mathbf{r}}^T \frac{\partial \mathbf{f}}{\partial \dot{\mathbf{x}}} - \mathbf{r}^T \frac{d}{dt} \left( \frac{\partial \mathbf{f}}{\partial \dot{\mathbf{x}}} \right)$$

- Cela nous donne le gradient:

$$\frac{dL}{d\theta} = - \int_{t_n}^{t_0} \mathbf{r}^T \frac{\partial \mathbf{f}}{\partial \theta} dt$$

### Conclusion

Les Odenet donne une nouvelle approche intéressante qui sera très importante pour définir des modèles génératifs.

# Régression symbolique: exemple

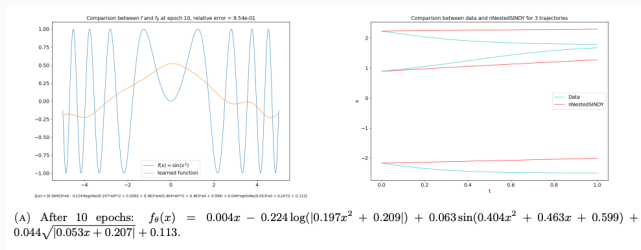
- On propose une exemple simple. Un Sindy a deux couches.
- 1er couche:

$$\phi_1(\mathbf{x}; \theta) = \sum_{i=1}^p \theta_i P_i(\mathbf{x}), \quad \text{avec } P_i \text{ des polynômes.}$$

- 2ème couche:

$$\phi_2(\mathbf{x}; \theta) = \sum_{i=1}^p \theta_i R_i(\mathbf{x}), \quad \text{avec } R_i \text{ des fonctions nonlinéaires comme: sin, cos, exp.}$$

- On cherche l'EDO  $x' = \sin(x^2)$ . On couple Odenet + Sindy 2 couches



# Régression symbolique: exemple

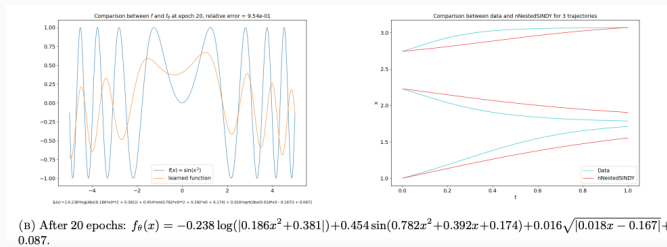
- On propose une exemple simple. Un Sindy a deux couches.
- 1er couche:

$$\phi_1(\mathbf{x}; \theta) = \sum_{i=1}^p \theta_i P_i(\mathbf{x}), \quad \text{avec } P_i \text{ des polynômes.}$$

- 2ème couche:

$$\phi_2(\mathbf{x}; \theta) = \sum_{i=1}^p \theta_i R_i(\mathbf{x}), \quad \text{avec } R_i \text{ des fonctions nonlinéaires comme: sin, cos, exp.}$$

- On cherche l'EDO  $x' = \sin(x^2)$ . On couple Odenet + Sindy 2 couches



# Régression symbolique: exemple

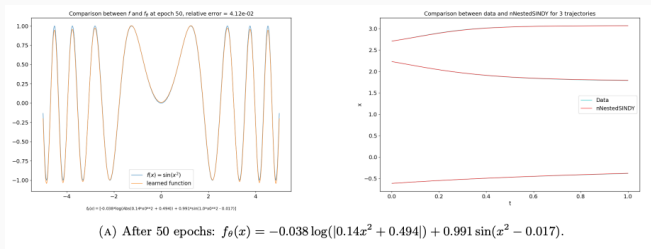
- On propose une exemple simple. Un Sindy a deux couches.
- 1er couche:

$$\phi_1(\mathbf{x}; \theta) = \sum_{i=1}^p \theta_i P_i(\mathbf{x}), \quad \text{avec } P_i \text{ des polynômes.}$$

- 2ème couche:

$$\phi_2(\mathbf{x}; \theta) = \sum_{i=1}^p \theta_i R_i(\mathbf{x}), \quad \text{avec } R_i \text{ des fonctions nonlinéaires comme: sin, cos, exp.}$$

- On cherche l'EDO  $x' = \sin(x^2)$ . On couple Odenet + Sindy 2 couches



# Régression symbolique: exemple

- On propose une exemple simple. Un Sindy a deux couches.
- 1er couche:

$$\phi_1(\mathbf{x}; \theta) = \sum_{i=1}^p \theta_i P_i(\mathbf{x}), \quad \text{avec } P_i \text{ des polynômes.}$$

- 2ème couche:

$$\phi_2(\mathbf{x}; \theta) = \sum_{i=1}^p \theta_i R_i(\mathbf{x}), \quad \text{avec } R_i \text{ des fonctions nonlinéaires comme: sin, cos, exp.}$$

- On cherche l'EDO  $x' = \sin(x^2)$ . On couple Odenet + Sindy 2 couches

